

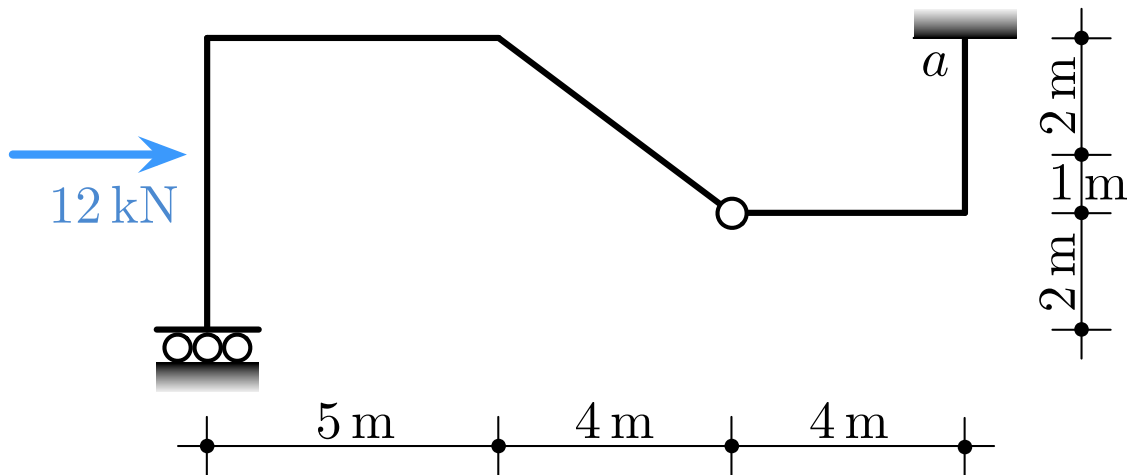
# FONDAMENTI DI MECCANICA DELLE STRUTTURE

(docente: G. FORMICA)

PROVA DI VERIFICA – 17 gennaio 2018

STUDENTE:

traccia **A**



## Parte 2

Del sistema iperstatico rappresentato in figura, composto di elementi in acciaio caratterizzati da un momento ultimo  $M_u = 500 \text{ kN m}$ , si stimi il carico di collasso secondo i teoremi dell'analisi limite. Scelta come incognita  $X$  la **reazione a momento dell'incastro** in  $a$ , si consegnino

2.1. i risultati ottenuti all'interno dell'approccio statico:

- i diagrammi di  $(N_0, T_0, M_0)$  e  $(N_X, T_X, M_X)$  distribuiti sullo schema isostatico,
- il valore del fattore di amplificazione del carico  $\lambda_s$  e
- il relativo diagramma  $M = M_0 + M_X$  staticamente ammissibile ( $|M| \leq M_u$ );

2.2. i risultati ottenuti all'interno dell'approccio cinematico:

- il (grafico del) meccanismo di collasso cinematicamente ammissibile,
- il relativo valore del fattore di amplificazione del carico  $\lambda_p$ .

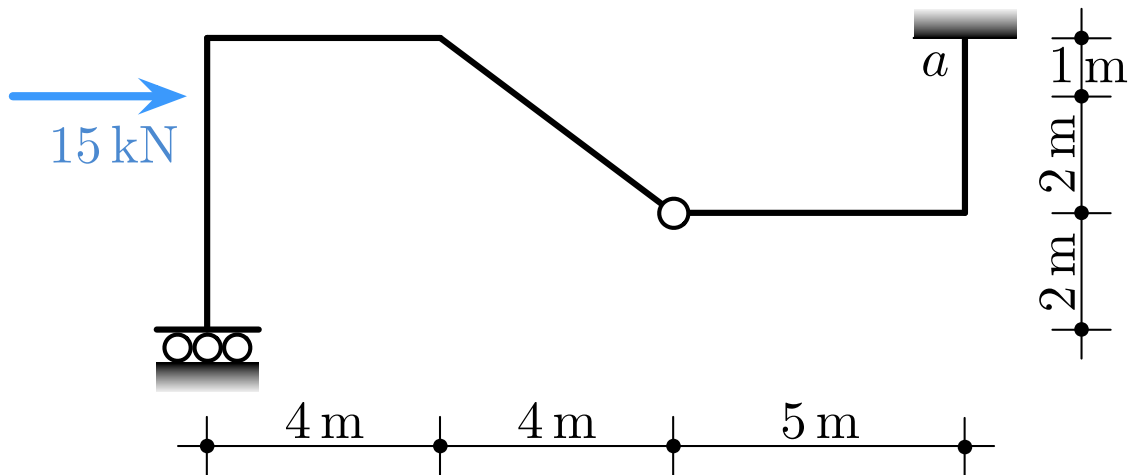
# FONDAMENTI DI MECCANICA DELLE STRUTTURE

(docente: G. FORMICA)

PROVA DI VERIFICA – 17 gennaio 2018

STUDENTE:

traccia **B**



## Parte 2

Del sistema iperstatico rappresentato in figura, composto di elementi in acciaio caratterizzati da un momento ultimo  $M_u = 500 \text{ kN m}$ , si stimi il carico di collasso secondo i teoremi dell'analisi limite. Scelta come incognita  $X$  la **reazione a momento dell'incastro** in  $a$ , si consegnino

2.1. i risultati ottenuti all'interno dell'approccio statico:

- i diagrammi di  $(N_0, T_0, M_0)$  e  $(N_X, T_X, M_X)$  distribuiti sullo schema isostatico,
- il valore del fattore di amplificazione del carico  $\lambda_s$  e
- il relativo diagramma  $M = M_0 + M_X$  staticamente ammissibile ( $|M| \leq M_u$ );

2.2. i risultati ottenuti all'interno dell'approccio cinematico:

- il (grafico del) meccanismo di collasso cinematicamente ammissibile,
- il relativo valore del fattore di amplificazione del carico  $\lambda_p$ .

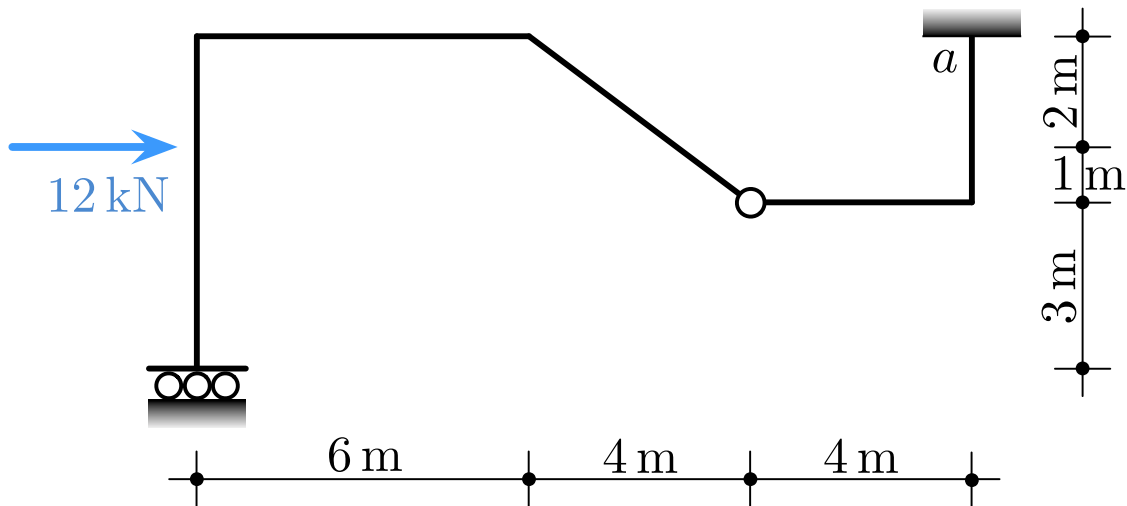
# FONDAMENTI DI MECCANICA DELLE STRUTTURE

(docente: G. FORMICA)

PROVA DI VERIFICA – 17 gennaio 2018

STUDENTE:

traccia C



## Parte 2

Del sistema iperstatico rappresentato in figura, composto di elementi in acciaio caratterizzati da un momento ultimo  $M_u = 500 \text{ kN m}$ , si stimi il carico di collasso secondo i teoremi dell'analisi limite. Scelta come incognita  $X$  la **reazione a momento dell'incastro** in  $a$ , si consegnino

2.1. i risultati ottenuti all'interno dell'approccio statico:

- i diagrammi di  $(N_0, T_0, M_0)$  e  $(N_X, T_X, M_X)$  distribuiti sullo schema isostatico,
- il valore del fattore di amplificazione del carico  $\lambda_s$  e
- il relativo diagramma  $M = M_0 + M_X$  staticamente ammissibile ( $|M| \leq M_u$ );

2.2. i risultati ottenuti all'interno dell'approccio cinematico:

- il (grafico del) meccanismo di collasso cinematicamente ammissibile,
- il relativo valore del fattore di amplificazione del carico  $\lambda_p$ .

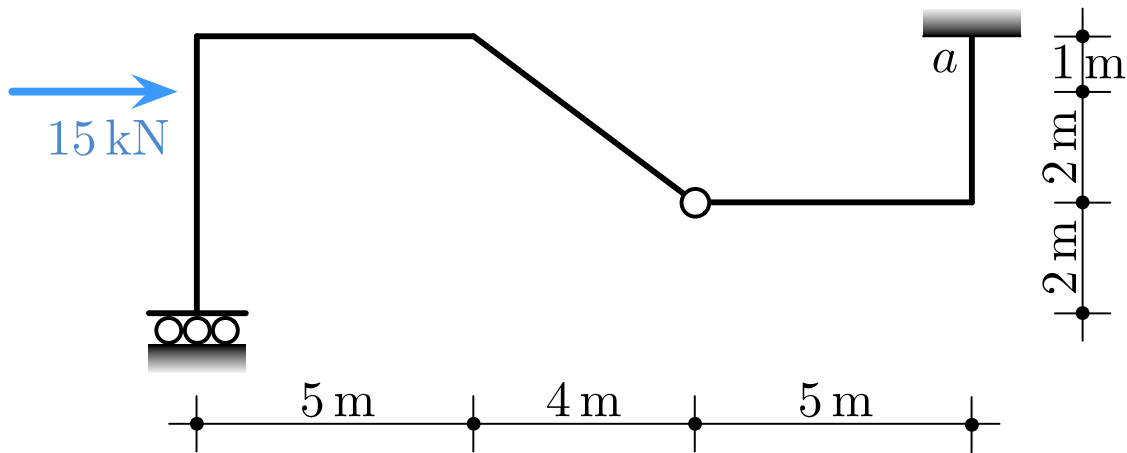
# FONDAMENTI DI MECCANICA DELLE STRUTTURE

(docente: G. FORMICA)

PROVA DI VERIFICA – 17 gennaio 2018

STUDENTE:

traccia **D**



## Parte 2

Del sistema iperstatico rappresentato in figura, composto di elementi in acciaio caratterizzati da un momento ultimo  $M_u = 500 \text{ kN m}$ , si stimi il carico di collasso secondo i teoremi dell'analisi limite. Scelta come incognita  $X$  la **reazione a momento dell'incastro** in  $a$ , si consegnino

2.1. i risultati ottenuti all'interno dell'approccio statico:

- i diagrammi di  $(N_0, T_0, M_0)$  e  $(N_X, T_X, M_X)$  distribuiti sullo schema isostatico,
- il valore del fattore di amplificazione del carico  $\lambda_s$  e
- il relativo diagramma  $M = M_0 + M_X$  staticamente ammissibile ( $|M| \leq M_u$ );

2.2. i risultati ottenuti all'interno dell'approccio cinematico:

- il (grafico del) meccanismo di collasso cinematicamente ammissibile,
- il relativo valore del fattore di amplificazione del carico  $\lambda_p$ .

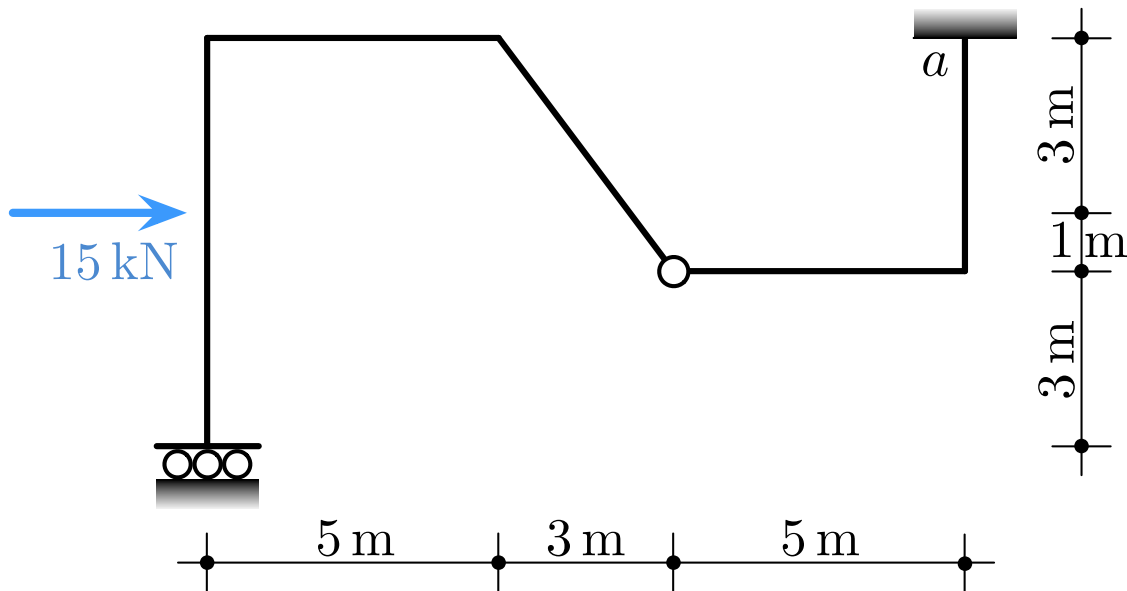
# FONDAMENTI DI MECCANICA DELLE STRUTTURE

(docente: G. FORMICA)

PROVA DI VERIFICA – 17 gennaio 2018

STUDENTE:

traccia **E**



## Parte 2

Del sistema iperstatico rappresentato in figura, composto di elementi in acciaio caratterizzati da un momento ultimo  $M_u = 500 \text{ kN m}$ , si stimi il carico di collasso secondo i teoremi dell'analisi limite. Scelta come incognita  $X$  la **reazione a momento dell'incastro** in  $a$ , si consegnino

2.1. i risultati ottenuti all'interno dell'approccio statico:

- i diagrammi di  $(N_0, T_0, M_0)$  e  $(N_X, T_X, M_X)$  distribuiti sullo schema isostatico,
- il valore del fattore di amplificazione del carico  $\lambda_s$  e
- il relativo diagramma  $M = M_0 + M_X$  staticamente ammissibile ( $|M| \leq M_u$ );

2.2. i risultati ottenuti all'interno dell'approccio cinematico:

- il (grafico del) meccanismo di collasso cinematicamente ammissibile,
- il relativo valore del fattore di amplificazione del carico  $\lambda_p$ .

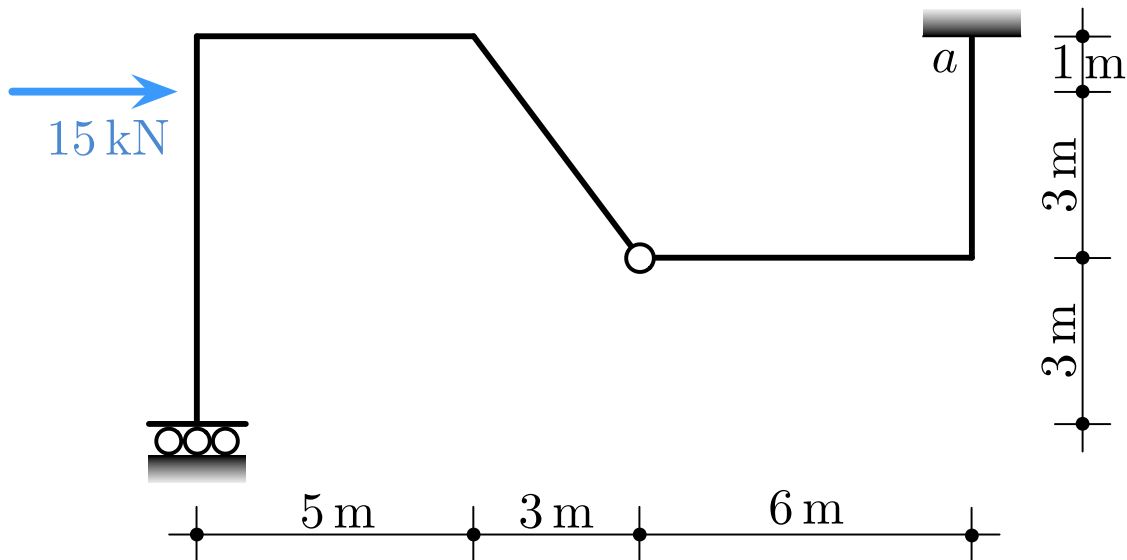
# FONDAMENTI DI MECCANICA DELLE STRUTTURE

(docente: G. FORMICA)

PROVA DI VERIFICA – 17 gennaio 2018

STUDENTE:

traccia **F**



## Parte 2

Del sistema iperstatico rappresentato in figura, composto di elementi in acciaio caratterizzati da un momento ultimo  $M_u = 500 \text{ kN m}$ , si stimi il carico di collasso secondo i teoremi dell'analisi limite. Scelta come incognita  $X$  la **reazione a momento dell'incastro** in  $a$ , si consegnino

2.1. i risultati ottenuti all'interno dell'approccio statico:

- i diagrammi di  $(N_0, T_0, M_0)$  e  $(N_X, T_X, M_X)$  distribuiti sullo schema isostatico,
- il valore del fattore di amplificazione del carico  $\lambda_s$  e
- il relativo diagramma  $M = M_0 + M_X$  staticamente ammissibile ( $|M| \leq M_u$ );

2.2. i risultati ottenuti all'interno dell'approccio cinematico:

- il (grafico del) meccanismo di collasso cinematicamente ammissibile,
- il relativo valore del fattore di amplificazione del carico  $\lambda_p$ .

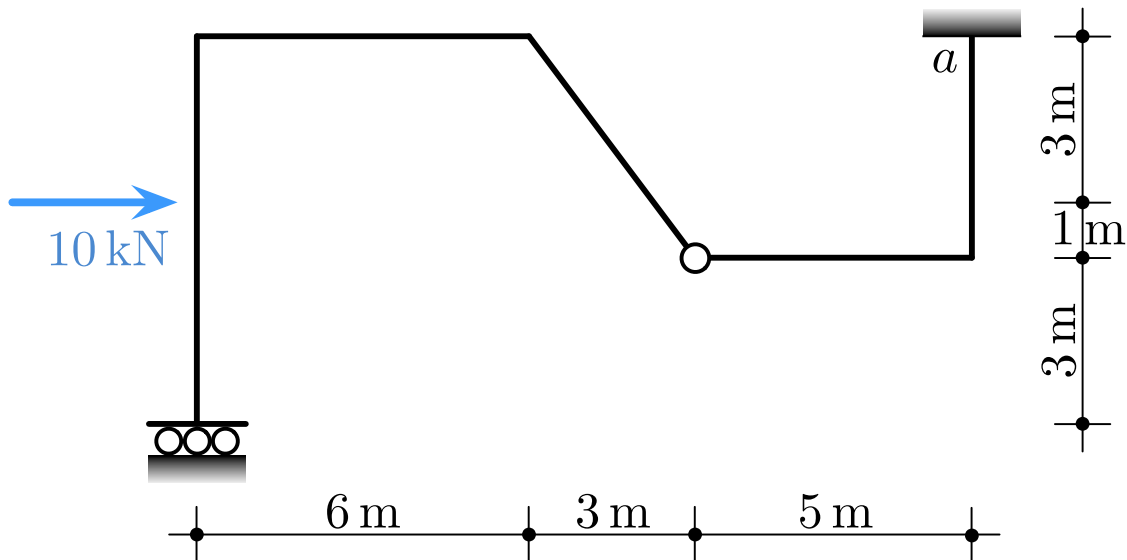
# FONDAMENTI DI MECCANICA DELLE STRUTTURE

(docente: G. FORMICA)

PROVA DI VERIFICA – 17 gennaio 2018

STUDENTE:

traccia **G**



## Parte 2

Del sistema iperstatico rappresentato in figura, composto di elementi in acciaio caratterizzati da un momento ultimo  $M_u = 500 \text{ kN m}$ , si stimi il carico di collasso secondo i teoremi dell'analisi limite. Scelta come incognita  $X$  la **reazione a momento dell'incastro** in  $a$ , si consegnino

2.1. i risultati ottenuti all'interno dell'approccio statico:

- i diagrammi di  $(N_0, T_0, M_0)$  e  $(N_X, T_X, M_X)$  distribuiti sullo schema isostatico,
- il valore del fattore di amplificazione del carico  $\lambda_s$  e
- il relativo diagramma  $M = M_0 + M_X$  staticamente ammissibile ( $|M| \leq M_u$ );

2.2. i risultati ottenuti all'interno dell'approccio cinematico:

- il (grafico del) meccanismo di collasso cinematicamente ammissibile,
- il relativo valore del fattore di amplificazione del carico  $\lambda_p$ .

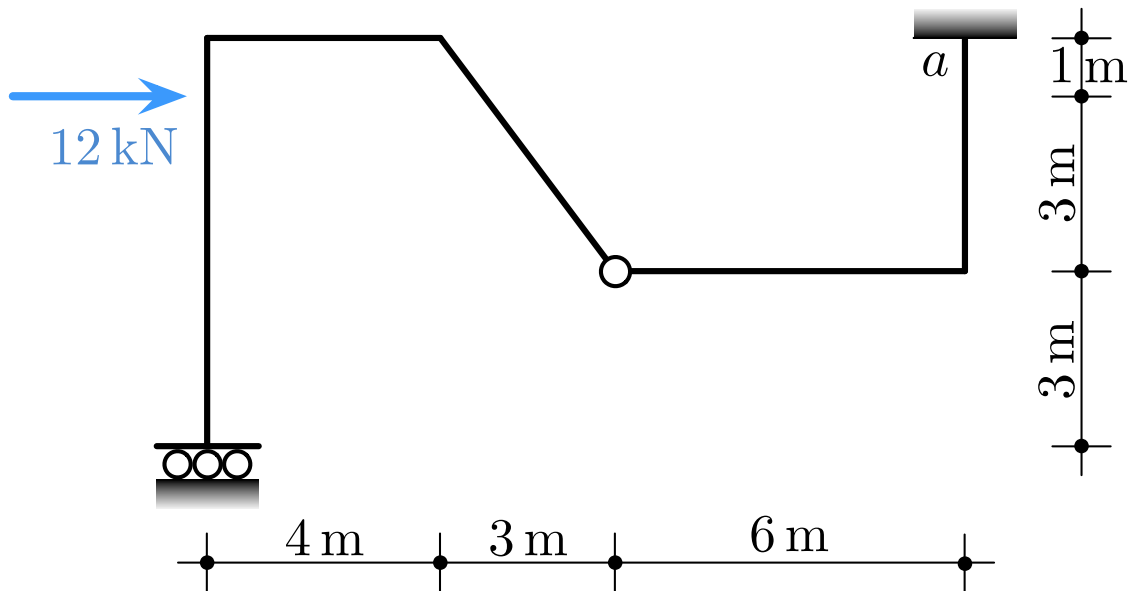
# FONDAMENTI DI MECCANICA DELLE STRUTTURE

(docente: G. FORMICA)

PROVA DI VERIFICA – 17 gennaio 2018

STUDENTE:

traccia **H**



## Parte 2

Del sistema iperstatico rappresentato in figura, composto di elementi in acciaio caratterizzati da un momento ultimo  $M_u = 500 \text{ kN m}$ , si stimi il carico di collasso secondo i teoremi dell'analisi limite. Scelta come incognita  $X$  la **reazione a momento dell'incastro** in  $a$ , si consegnino

2.1. i risultati ottenuti all'interno dell'approccio statico:

- i diagrammi di  $(N_0, T_0, M_0)$  e  $(N_X, T_X, M_X)$  distribuiti sullo schema isostatico,
- il valore del fattore di amplificazione del carico  $\lambda_s$  e
- il relativo diagramma  $M = M_0 + M_X$  staticamente ammissibile ( $|M| \leq M_u$ );

2.2. i risultati ottenuti all'interno dell'approccio cinematico:

- il (grafico del) meccanismo di collasso cinematicamente ammissibile,
- il relativo valore del fattore di amplificazione del carico  $\lambda_p$ .